



بیست و هفتمین کنفرانس اپتیک و  
فوتوونیک ایران و سیزدهمین کنفرانس  
مهندسی و فناوری فوتونیک ایران،  
دانشگاه سیستان و بلوچستان،  
 Zahedan, Iran.  
 ۱۴-۱۶ بهمن ۱۳۹۹



کد مقاله : A-۱۰-۲۵۶۹-۱

## طراحی نانو فیلتر پلاسمونی با استفاده از یک موجبر شیاردار و چهار کاواک جفت شده

محمدیوسف قره‌داشلی، امین قادری و سعید میرزانژاد

دانشکده فیزیک دانشگاه مازندران، بابلسر

m.y.gharehdashly@gmail.com, a.ghadi@umz.ac.ir, saeed@umz.ac.ir

چکیده - این مقاله در مورد مطالعه و طراحی نانو فیلتر پلاسمونی با استفاده از یک موجبر شیاردار و چهار کاواک جفت شده است. در سامانه نوری طراحی شده تغییرات طیف عبور را با جابجا کردن مکان کاواک‌ها در جهت محور  $x$  با شبیه سازی عددی و روش FDTD بررسی کردیم. این کاواک‌ها در چند طول موج فیلترینگ می‌کنند و با تغییر کاواک‌ها این طول موج تشدید فانو شیفت پیدا می‌کند. ما در این نانوفیلتر از چهار کاواک استفاده کردیم که با جابجایی کاواک‌های دوم و چهارم شیفت رزونانسی به سمت طول موج‌های بزرگتر یعنی در محدوده ۱۰۰۰ تا ۱۲۰۰ نانومتر در محدوده ۱۴۰۰ تا ۱۶۰۰ نانومتر به سمت طول موج‌های کوچکتر داشتیم. همچنین در قسمت پیک‌های  $\lambda_3^{\text{res}}$  با جابجایی کاواک‌ها پهنای پیک‌ها در نصف ارتفاع بصورت قابل ملاحظه‌ای کاهش یافته است. نتایج حاصل از این پژوهش می‌تواند برای فیلترینگ نوری در مقیاس نانو در مدارهای مجتمع تمام نوری کاربرد های زیادی داشته باشند.

کلید واژه - نانو فیلتر، پلاسمون پلاریتون های سطحی، تشدید فانو، موجبر فلز-عایق-فلز

### Design of plasmonic nano-filter using a baffle waveguide and four coupled cavity

Mohammad Yusuf Gharehdashly, Amin Ghadi, Saeed Mirzanejhad

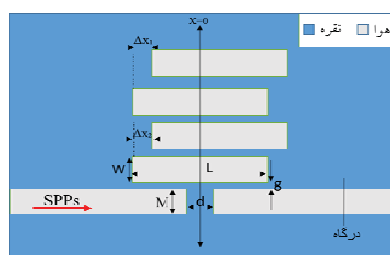
Department of Physics, University of Mazandaran, Babolsar

m.y.gharehdashly@gmail.com, a.ghadi@umz.ac.ir, saeed@umz.ac.ir

**Abstract-** This article is about study and design of plasmonic nano-filters using a baffle waveguide and four coupled cavities. In the designed optical system, we studied the changes in the transmission spectrum by shifting the location of the cavities in the direction of the  $x$ -axis by numerical simulation and the FDTD method. These cavities filters some wavelengths and with changing cavity positions, the resonance wavelength shifts. In this nano filter, we used four cavities, that with changing the second and the fourth cavities, we have resonance shift to higher wavelengths for the resonance between 1000nm up to 1200nm, and to lower wavelengths for the resonance between 1400nm up to 1600nm. Also, full width at half maximum decreases with changing the position of cavity for  $\lambda_3^{\text{res}}$ . The results of this study can have many applications for nanoscale optical filtering in all-optical integrated circuits.

Keywords: Nano- filter, Surface plasmon polaritons(SPPs), Fano resonance, Metal-insulator-metal(MIM) waveguide

عمل کند. همچنین با جابجایی کاواک‌ها تغییرات قابل ملاحظه‌ای در پهنای طیفها در نصف ارتفاع ایجاد می‌شود. تغییرات طیف طول موج نانوفیلتر با تغییر مکان کاواک‌ها نشان داده خواهد شد که باعث می‌شود تا از آن در مدارات مجتمع اپتیکی استفاده شود. در شکل (۱) هندسه سامانه نوری طراحی شده است، در این‌شکل  $M=50\text{ nm}$ ,  $W=50\text{ nm}$ ,  $L=400\text{ nm}$ ,  $d=20\text{ nm}$ ,  $g=10\text{ nm}$  عرض کاواک‌ها و عرض موجبر شیاردار هستند. پهنای شیار موجبر را نشان می‌دهد. چشممه فضای بین موجبر و کاواک‌ها را نشان می‌دهد. نوری تزریق شده به موجبر، مد موجبر پلاسمونی در نظر گرفته شده است که تحریک آن باعث برانگیخته شدن پلاسمون‌ها در کل سامانه می‌شود. از آنجا که پهنای موجبر خیلی کمتر از طول موج امواج نور ورودی است، فقط یک مد با قطبیدگی TM در سامانه نوری می‌تواند انتشار یابد که در این شبیه‌سازی برای انتشار این مد از منبع نور Mode در نرم افزار استفاده شد. شرط مرزی مورد استفاده نیز شرط مرزی<sup>۱</sup> PML می‌باشد و در قسمت مش نیز  $\Delta x=0.5$  و  $\Delta y=0.75$  قرارداده شده است. ثابت دی‌الکتریک وابسته به طول موج نقره با مدل درود طبق معادله:  $\epsilon_m = \epsilon_\infty - \omega_p^2 / (\omega^2 + i\omega\gamma)$  با پارامترهای  $\omega_p = 9.1\text{ eV}$ ,  $\epsilon_\infty = 3.7$  که ثابت دی‌الکتریک در فرکانس بی‌نهایت،  $\omega$  برخورد الکترون و فرکانس پلاسمای حجمی است [۵].



<sup>۱</sup>Perfectly matched layer

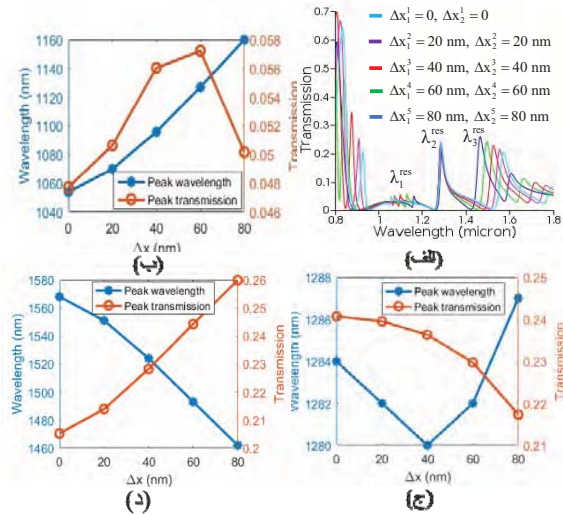
## مقدمه

یکی از ادوات پرکاربرد در سامانه‌های نوری فیلترهای پلاسمونی هستند. بنابراین در مورد این ادوات، مطالعات و بررسی‌های بسیاری بخصوص در مدارهای مجتمع نوری صورت گرفته است. فیلترها بصورت اشکال مختلف مانند حلقه [۱]، مستطیل [۲] و غیره در سامانه‌های نوری کاربرد داشته‌اند. پلاسمون پلاریتون‌های سطحی به دلیل افزایش قابل توجه شدت میدان نوری، محدودیت پراش نور را ندارند، بنابراین در طراحی این نانو فیلترها نقش اساسی را ایفا می‌کنند [۳]. موجبرهای فلز-دی‌الکتریک-فلز مبتنی بر آن‌ها نیز می‌توانند نور را در ابعاد نانو و در ساختار سیار ریز هدایت کند [۴]. تشديد فانو به عنوان یک اثر تداخل بینیک حالت موضعی و یک نوار پیوسته در سامانه‌های نوری ظاهر می‌شود و یک مقطع عرضی خط تیز و نامتقارن دارد و بخاطر این مشخصه مهم در طراحی نانوفیلترها و بیوسنسورهای پلاسمونی بسیار حساس در فیلترها و مقیاس نانو بکار می‌رود [۵]. در این شبیه‌سازی، فیلترینگ نوری با استفاده از تشديد فانو در سامانه‌ی پلاسمونی متشکل از یک موجبر شیاردار MIM همراه با چهار کاواک جفت شده، مورد بررسی قرار می‌گیرد. ویژگی‌های عبور امواج نوری از سامانه‌ی نوری با روش عددی تحلیل شده است.

## روش و محاسبات

نانوفیلتر پلاسمونی طراحی و بصورت عددی با روش FDTD با استفاده از نرم افزار لومریکال شبیه‌سازی می‌شود. کارهایی که اخیرا در این زمینه صورت گرفته [۵]، شامل یک موجبر و یک تا چند کاواک بوده است که در این مقاله با جابجایی کاواک‌ها در حالت‌های مختلف مشاهده می‌شود که شیفت رزونانسی وجود دارد که باعث می‌شود فیلتر در طول موج مورد نظر ساخته شود و در آن طول موج

میزان عبور آن ۹۰ نانومتر تا جابجایی ۶۰ نانومتر بصورت صعودی شیفت پیدا می‌کند اما برای  $\lambda_2^{\text{res}}$  و  $\lambda_3^{\text{res}}$  اینچنین نمی‌شود. در قسمت پیک‌های  $\lambda_3^{\text{res}}$  پهنهای پیک‌ها در نصف ارتفاع بصورت کاهش می‌باید ولی برای بقیه اینطور نمی‌شود. این نتیجه برای طراحی فیلتر موردنظر در طول موج مدنظر می‌تواند مورد استفاده قرار بگیرد.



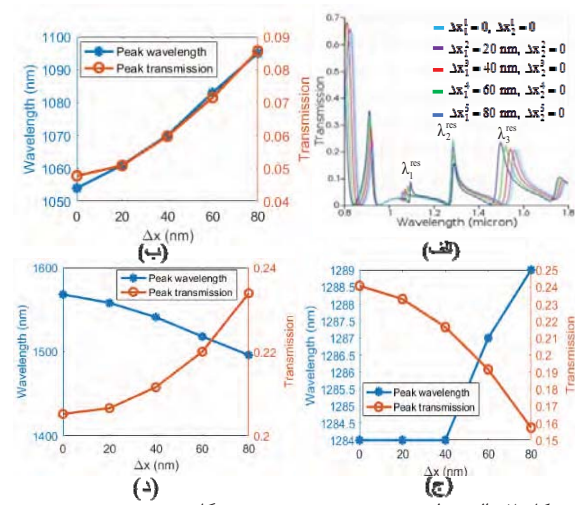
شکل ۳: (الف) طیف عبور سیستم نوری در درگاه خروجی موجبر (ب) وابستگی عبور و طول موج تشدید فانو به جابجایی کاواک‌ها در بخش  $\lambda_1^{\text{res}}$ ، (ج) وابستگی عبور و طول موج تشدید به جابجایی کاواک‌ها در بخش  $\lambda_2^{\text{res}}$ ، (د) وابستگی عبور و طول موج تشدید به جابجایی کاواک‌ها در بخش  $\lambda_3^{\text{res}}$ .

با توجه به شکل‌های (۱) و (۴) وقتی  $\Delta x_1$  و  $\Delta x_2$  بترتیب ۸۰ و ۱۰۰ نانومتر جابجا می‌شوند طول موج تشدید فانو  $\lambda_1^{\text{res}}$  ۱۰۰ نانومتر شیفت پیدا می‌کند و میزان عبور آن ۱۳۰ نانومتر تا جابجایی ۶۰ نانومتر بصورت صعودی شیفت پیدا می‌کند اما برای  $\lambda_2^{\text{res}}$  و  $\lambda_3^{\text{res}}$  اینچنین نمی‌شود. در قسمت پیک‌های  $\lambda_3^{\text{res}}$  پهنهای پیک‌ها در نصف ارتفاع کاهش می‌باید ولی برای بقیه اینطور نمی‌شود. این نتیجه برای تنظیم اینکه فیلتر در چه نتیجه برای تنظیم اینکه فیلتر در چه طول موجی عمل کند مفید است و می‌تواند جابجایی‌های نانومتری بر روی طول موج تشدید ایجاد کند.

شکل ۱: شماتیک ساده ای از سامانه نورپلاسمنی شامل یک موجبر شیاردار و چهار کاواک در بالا و نمادهای پارامتر هندسی

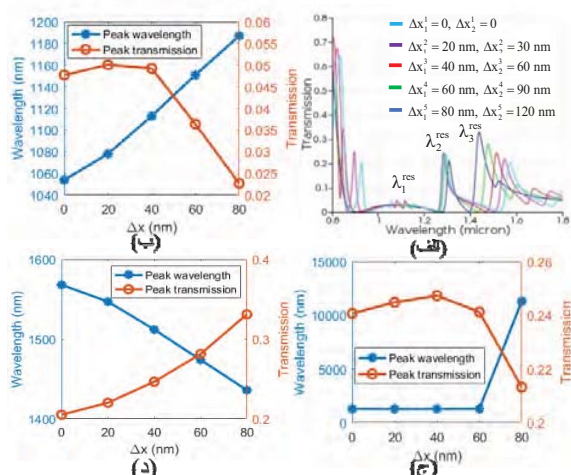
قسمت (الف) هر یک از شکل‌های زیر، طیف‌های عبور سیستم نوری در درگاه خروجی موجبر را برای حالت‌های مختلف جابجایی کاواک‌ها و بخش‌های (ب)، (ج) و (د) نیز وابستگی طول موج و میزان عبور تشدید فانو را بر حسب جابجایی کاواک‌ها نمایش می‌دهد. با توجه به شکل‌های (۱)

و (۲) وقتی  $\Delta x_1 = 80$  نانومتر جابجا می‌شود طول موج تشدید فانو  $\lambda_1^{\text{res}}$  ۵۰ نانومتر بصورت صعودی شیفت پیدا می‌کند و میزان عبور آن ۴۰ نانومتر بصورت صعودی شیفت پیدا می‌کند اما برای  $\lambda_2^{\text{res}}$  و  $\lambda_3^{\text{res}}$  اینچنین نمی‌شود. با جابجایی کاواک‌ها در قسمت پیک‌های  $\lambda_3^{\text{res}}$  پهنهای پیک‌ها در نصف ارتفاع کاهش می‌باید ولی برای بقیه اینطور نمی‌شود. این نتیجه برای تنظیم اینکه فیلتر در چه طول موجی عمل کند مفید است و می‌تواند جابجایی‌های نانومتری بر روی طول موج تشدید ایجاد کند.



شکل ۲: (الف) طیف عبور سیستم نوری در درگاه خروجی موجبر، (ب) وابستگی عبور و طول موج تشدید فانو به جابجایی کاواک‌ها در بخش  $\lambda_1^{\text{res}}$ ، (ج) وابستگی عبور و طول موج تشدید به جابجایی کاواک‌ها در بخش  $\lambda_2^{\text{res}}$ ، (د) وابستگی عبور و طول موج تشدید به جابجایی کاواک‌ها در بخش  $\lambda_3^{\text{res}}$ .

با توجه به شکل‌های (۱) و (۳) وقتی  $\Delta x_1$  و  $\Delta x_2$  بترتیب ۸۰ نانومتر جابجا می‌شوند طول موج تشدید  $\lambda_1^{\text{res}}$  ۱۰۰ نانومتر و



شکل ۵: (الف) طیف عبور سیستم نوری در درگاه خروجی موجبر، (ب) وابستگی عبور و طول موج تشدید فانو به جابجایی کاواکها در بخش  $\lambda_1^{\text{res}}$ ، (ج) وابستگی عبور و طول موج تشدید به جابجایی کاواکها در بخش  $\lambda_2^{\text{res}}$ ، (د) وابستگی عبور و طول موج تشدید به جابجایی کاواکها در بخش  $\lambda_3^{\text{res}}$ .

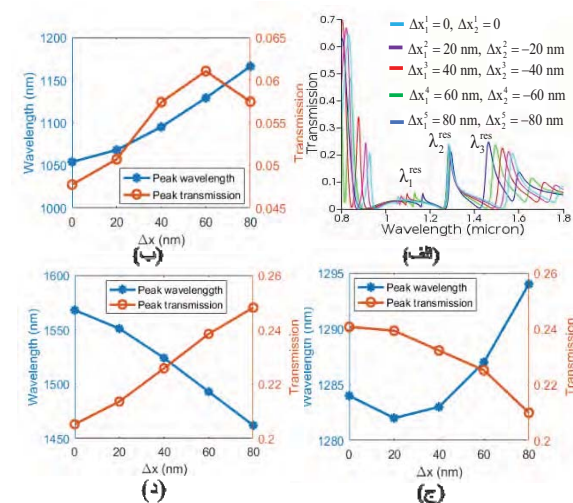
### نتیجه‌گیری

در این پژوهش، سامانه نوری پلاسمونی پیشنهادی شبیه سازی شد و از ترکیب تشدید فانو با موجبر MIM تغییرات طیف عبور با تغییر مکان کاواکها بررسی شد به عبارتی با جابجا کردن کاواکها از صفر تا ۸۰ نانومتر شیفت طول موج و میزان عبور امواج نوری از موجبر را بررسی کردیم و در نتیجه تاثیر کنترل نانو فیلتر پلاسمونیرا با استفاده از روش FDTD در نرم افزار لومریکالبدست آوردیم. این نانو فیلتر در پردازش سیگنال‌های نوری، ارتباطات نوری و مدارهای مجتمع کاربردهای بسیاری زیادی دارد.

### مرجع‌ها

- [۱] T.-B. Wang, X.-W. Wen, C.-P. Yin, and H.-Z. Wang, "The transmission characteristics of surface plasmon polaritons in ring resonator," *Optics express*, vol. 17, no. 26, pp. 24096-24101, 2009.
- [۲] A. Setayesh, S. R. Mirnaziry, and M. S. Abrishamian, "Numerical investigation of tunable band-pass\band-stop plasmonic filters

می‌شوند طول موج تشدید  $\lambda_1^{\text{res}}$  ۱۵۰ نانومتر بصورت صعودی ولی میزان عبور آن تقریبا ۱۰۰ نانومتر بصورت نزولی شیفت پیدا می‌کند اما برای  $\lambda_2^{\text{res}}$  و  $\lambda_3^{\text{res}}$  اینچنین نمی‌شود. در قسمت پیک‌های  $\lambda_3^{\text{res}}$  پهنای پیک‌ها در نصف ارتفاع کاهش می‌یابد ولی برای بقیه اینطور نمی‌شود. این نتیجه برای طراحی فیلتر موردنظر در طول موج مدنظر می‌تواند مورد استفاده قرار بگیرد.



شکل ۴: (الف) طیف عبور سیستم نوری در درگاه خروجی موجبر، (ب) وابستگی عبور و طول موج تشدید فانو به جابجایی کاواکها در بخش  $\lambda_1^{\text{res}}$ ، (ج) وابستگی عبور و طول موج تشدید به جابجایی کاواکها در بخش  $\lambda_2^{\text{res}}$ ، (د) وابستگی عبور و طول موج تشدید به جابجایی کاواکها در بخش  $\lambda_3^{\text{res}}$ .

with hollow-core circular ring resonator,"  
*Journal of the Optical Society of Korea*, vol. 15, no. 1, pp. 82-89, 2011.

- [۳] W. L. Barnes, A. Dereux, and T. W. Ebbesen, "Surface plasmon subwavelength optics," *nature*, vol. 424, no. 6950, pp. 824-830, 2003.

- [۴] T. Xu, Y.-K. Wu, X. Luo, and L. J. Guo, "Plasmonic nanoresonators for high-resolution colour filtering and spectral imaging," *Nature communications*, vol. 1, no. 1, pp. 1-5, 2010.

- [۵] Z .Chen, X. Song, G. Duan, L. Wang, and L. Yu, "Multiple Fano resonances control in MIM side-coupled cavities systems," *IEEE Photonics Journal*, vol. 7, no. 3, pp. 1-10, 2015.

- [۶] A. Farmani, A. Mir, M. Bazgir, and F. B. Zarrabi, "Highly sensitive nano-scale plasmonic biosensor utilizing Fano resonance metasurface in THz range: numerical study," *Physica E: Low-dimensional Systems and Nanostructures*, vol. 104, pp. 233-240, 2018.